

[NOWCASTING SOLARE 31 AGOSTO 2015](#)

Nowcasting solare, sommario delle ultime 24 ore: L'attività solare nella giornata di oggi 31 Agosto è rimasta a livelli bassi.

La Regione 2403 (S15W92, Dao/beta) ha prodotto il più grande flare della giornata, un classe C2 alle ore 05.22 UTC. Tutte le altre regioni sono rimaste semplici e inattive.

Nessuna espulsione di massa coronale ([CME](#)) è stata osservata in direzione verso la Terra, dal [LASCO](#) coronagraph imagery.

Previsioni prossime 72 ore: L'attività solare dovrebbe restare a livelli bassi nei prossimi tre giorni (01-03 Settembre) con possibilità di brillamenti di classe C.

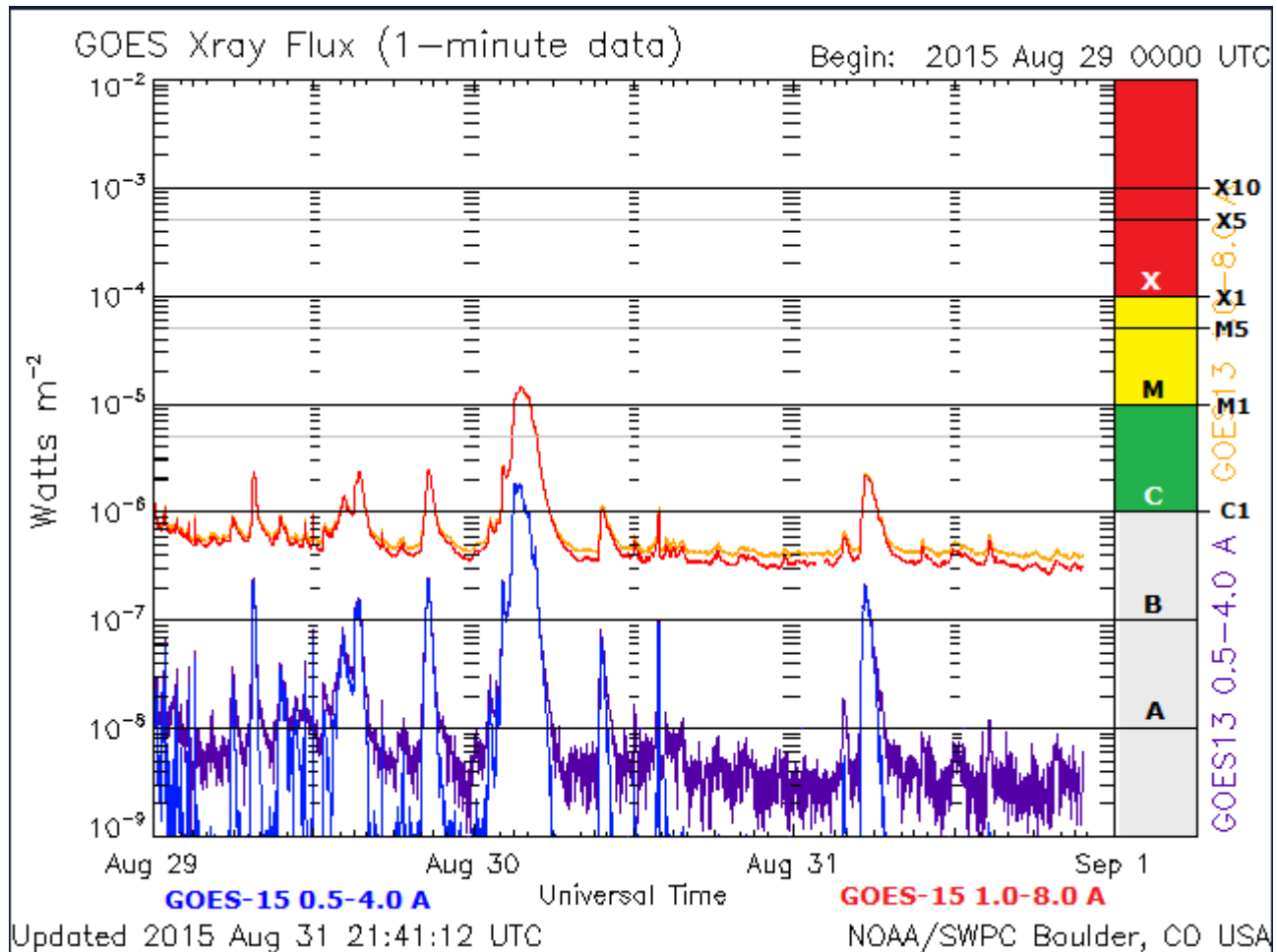
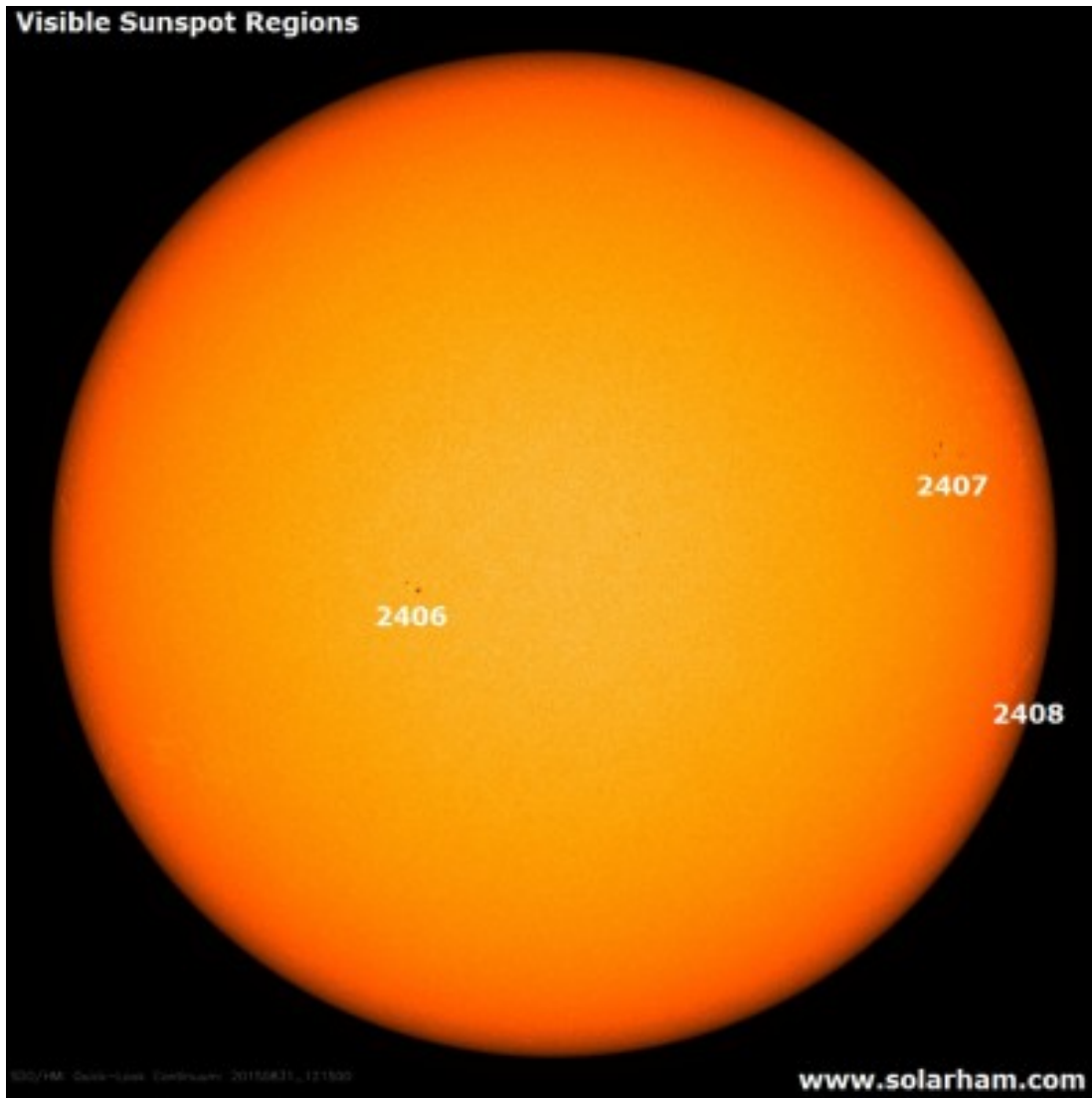


Grafico dei Raggi X degli ultimi tre giorni

Ne consegue che:

Alle ore 18.00 UTC, il disco solare visibile presentava tre regioni attive (in risoluzione 2K da immagini SDO/HMI Continuum):

| Num count | Lat., class | | CMD | | Long. | Area | Extent | class |
|--------------|----------------|-----|-----|---|-------|------|--------|-------|
| 2405 | S20E09 | 87 | 10 | 5 | BX0 | 3 | B | |
| 2406 | N03E22 | 73 | 10 | 2 | AXX | 2 | A | |
| 2407 | N15W48 | 144 | 30 | 3 | CR0 | 3 | B | |



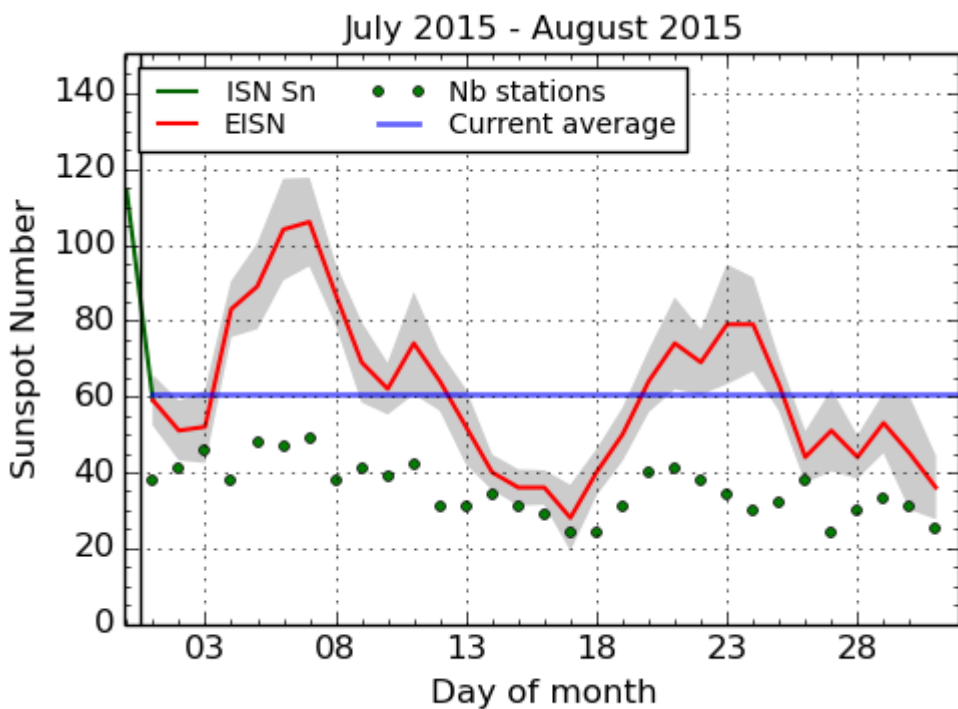
Il campo geomagnetico solare nel corso delle ultime 24 ore è risultato in stato "QUIET" mentre i Raggi X in stato "ACTIVE"

La velocità del flusso solare (2,8 GHz) alle ore 20,00 del 31 agosto è risultato a 91.0

La media mensile del flusso solare ad oggi risulta a 106.5

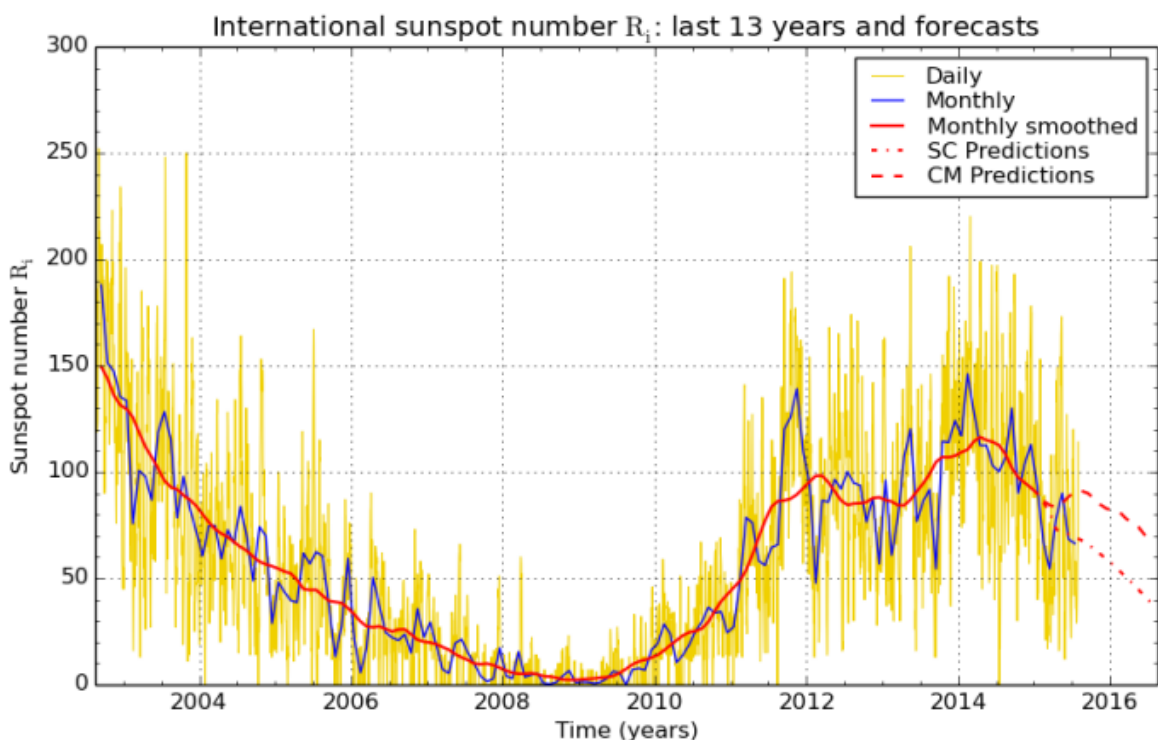
Il conteggio delle macchie solari (conteggio SILSO) del 31 agosto è risultato di 36 macchie.

La media mensile delle macchie solari ad oggi risulta a 61.9 punti.



SILSO graphics (<http://sidc.be/silso>) Royal Observatory of Belgium, 2015 August 31

L'andamento delle macchie solari nell'ultimo mese. Grafico del centro di conteggio SILSO



SILSO graphics (<http://sidc.be/silso>) Royal Observatory of Belgium 2015 August 1

L'andamento dell'attività solare negli ultimi 13 anni e forecast. Grafico del centro di conteggio SILSO

La media mensile dell'indice Ap è risultata nella giornata di ieri di 14.2

La velocità del vento solare attuale è di 391.4 km/s

La densità del vento solare attuale è di 2.1 protons/cm³

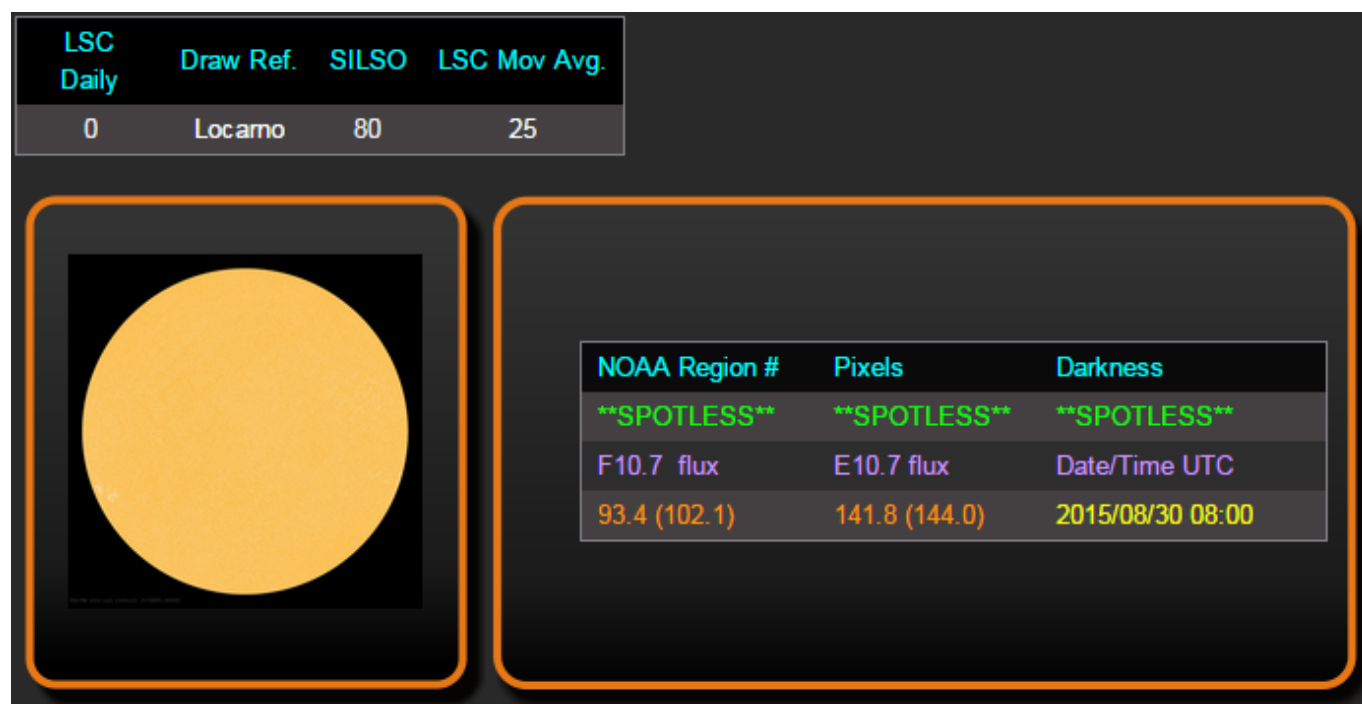
L'indice A attuale è di 6 (calmo)

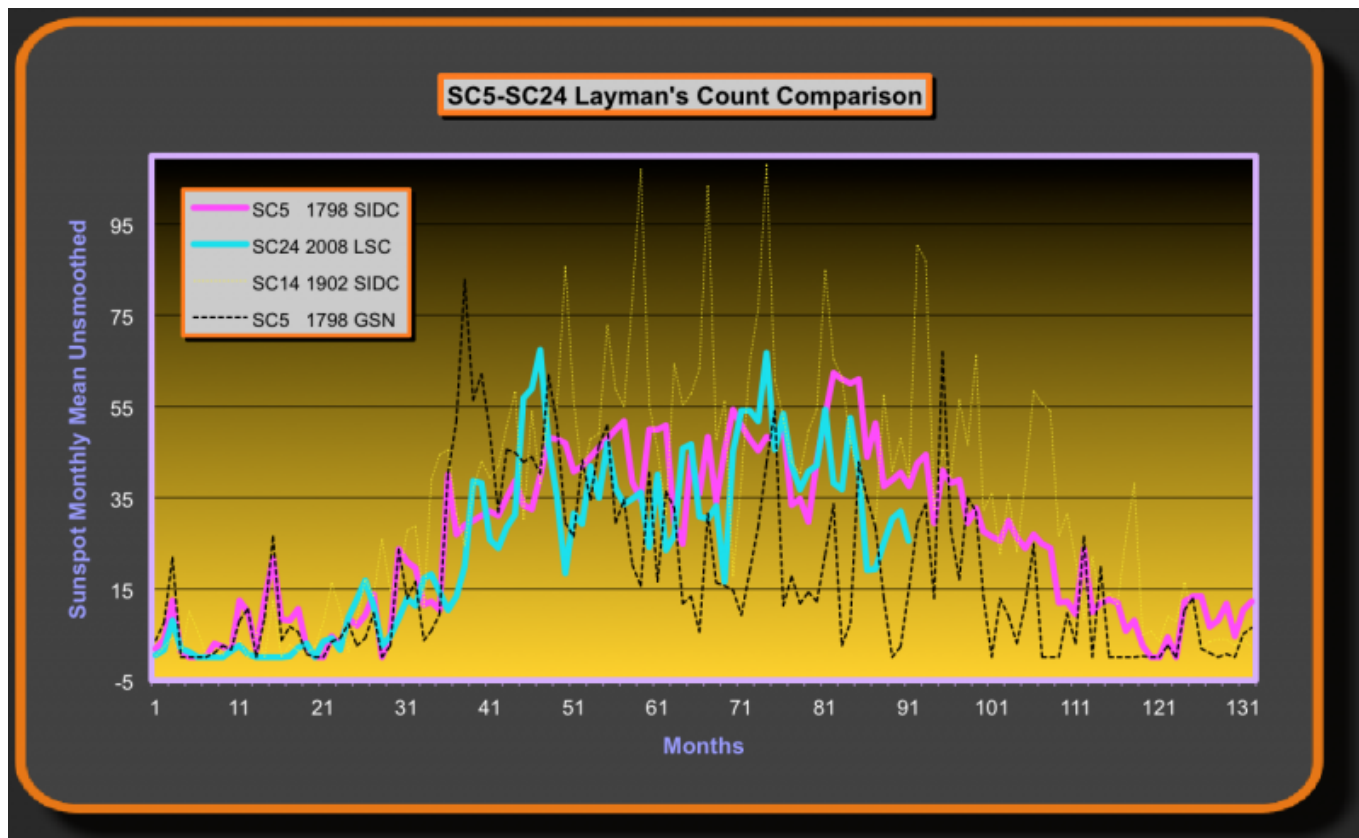
L'indice K attuale è di 2 (calmo)

Il flusso dei raggi X attuale risulta di classe B 3.0

La componente **BZ** attuale è di 4.0 nT

Il conteggio delle macchie solari con il metodo Layman's sunspot count (gestito da Geoff Sharp), nella giornata del 30 Agosto alle ore 08:00 (ultimo aggiornamento disponibile) è risultato ****SPOTLESS**** che portano la media mensile a 25 macchie (SSN).





Confronto tra i due cicli, il ciclo 5 (minimo di Dalton colore fucsia) e il ciclo 24 (ciclo attuale colore azzurro) per il metodo di conteggio del Layman's

Aggiornamento del Campo Magnetico Polare del 31 Agosto 2015

Come nostra consuetudine diamo uno sguardo all'ultimo aggiornamento del campo magnetico solare, sui dati raccolti dal prestigioso Osservatorio di Wilcox Solar Observatory (WSO) dell'Università di Stanford.

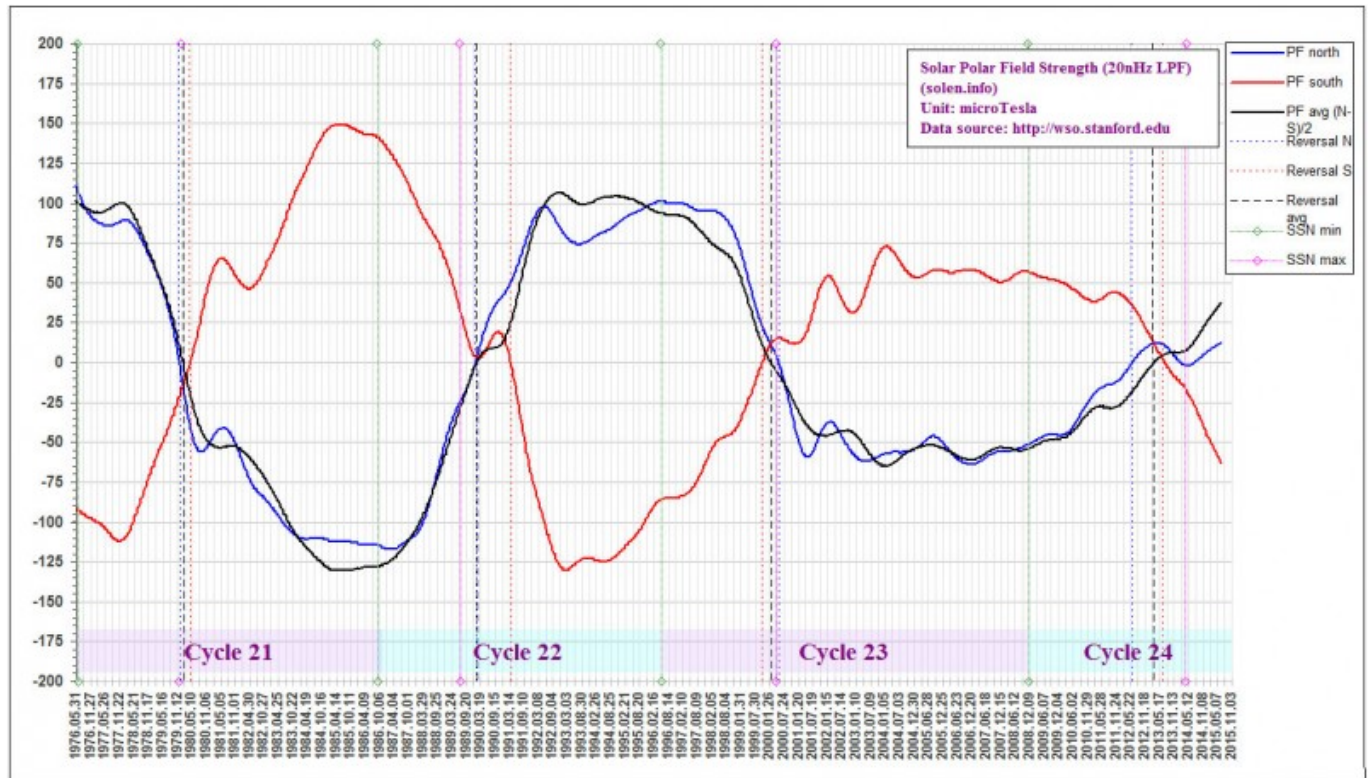
Il dato aggiornato al 31 Agosto 2015 e che fa riferimento al 15 Agosto 2015 mette ancora una volta in evidenza come l'emisfero nord abbia ormai istaurato un'andatura molto lenta, ma direi ormai di nuovo bloccata. Infatti l'emisfero nord rimane ancora una volta bloccato a 13Nf. La novità di oggi è che dobbiamo segnalare anche il fermo dell'emisfero sud, che rimane con il dato all'aggiornamento scorso, quindi a -69Sf.

Di conseguenza il risultato mediato resta fermo anch'egli, attestandosi a 41Avgf.

| | | | | | | | | |
|------------------------|-----|------|-------|-------|-------|------|-------|--------|
| 2014:11:18_21h:07m:13s | 6N | -44S | 25Avg | 20nhz | filt: | 5Nf | -41Sf | 23Avgf |
| 2014:11:28_21h:07m:13s | 6N | -44S | 25Avg | 20nhz | filt: | 5Nf | -42Sf | 24Avgf |
| 2014:12:08_21h:07m:13s | 0N | -44S | 22Avg | 20nhz | filt: | 6Nf | -43Sf | 25Avgf |
| 2014:12:18_21h:07m:13s | -6N | -40S | 17Avg | 20nhz | filt: | 6Nf | -45Sf | 25Avgf |
| 2014:12:28_21h:07m:13s | -4N | -43S | 19Avg | 20nhz | filt: | 7Nf | -46Sf | 26Avgf |
| 2015:01:07_21h:07m:13s | 3N | -42S | 22Avg | 20nhz | filt: | 7Nf | -47Sf | 27Avgf |
| 2015:01:17_21h:07m:13s | 9N | -45S | 27Avg | 20nhz | filt: | 8Nf | -48Sf | 28Avgf |
| 2015:01:27_21h:07m:13s | 18N | -41S | 29Avg | 20nhz | filt: | 8Nf | -50Sf | 29Avgf |
| 2015:02:06_21h:07m:13s | 10N | -45S | 27Avg | 20nhz | filt: | 8Nf | -51Sf | 30Avgf |
| 2015:02:16_21h:07m:13s | 8N | -48S | 28Avg | 20nhz | filt: | 9Nf | -52Sf | 30Avgf |
| 2015:02:26_21h:07m:13s | 8N | -51S | 29Avg | 20nhz | filt: | 9Nf | -53Sf | 31Avgf |
| 2015:03:08_21h:07m:13s | 17N | -50S | 33Avg | 20nhz | filt: | 9Nf | -54Sf | 32Avgf |
| 2015:03:18_21h:07m:13s | 27N | -49S | 38Avg | 20nhz | filt: | 10Nf | -55Sf | 33Avgf |
| 2015:03:28_21h:07m:13s | 24N | -52S | 38Avg | 20nhz | filt: | 10Nf | -56Sf | 33Avgf |
| 2015:04:07_21h:07m:13s | 15N | -56S | 36Avg | 20nhz | filt: | 10Nf | -57Sf | 34Avgf |
| 2015:04:17_21h:07m:13s | 11N | -59S | 35Avg | 20nhz | filt: | 11Nf | -58Sf | 35Avgf |
| 2015:04:27_21h:07m:13s | 13N | -61S | 37Avg | 20nhz | filt: | 11Nf | -59Sf | 35Avgf |
| 2015:05:07_21h:07m:13s | 16N | -64S | 40Avg | 20nhz | filt: | 11Nf | -60Sf | 36Avgf |
| 2015:05:17_21h:07m:13s | 15N | -66S | 41Avg | 20nhz | filt: | 12Nf | -61Sf | 36Avgf |
| 2015:05:27_21h:07m:13s | 12N | -80S | 46Avg | 20nhz | filt: | 12Nf | -62Sf | 37Avgf |
| 2015:06:06_21h:07m:13s | 6N | -76S | 41Avg | 20nhz | filt: | 12Nf | -63Sf | 37Avgf |
| 2015:06:16_21h:07m:13s | 5N | -75S | 40Avg | 20nhz | filt: | 12Nf | -64Sf | 38Avgf |
| 2015:06:26_21h:07m:13s | 5N | -74S | 40Avg | 20nhz | filt: | 12Nf | -65Sf | 39Avgf |
| 2015:07:06_21h:07m:13s | 10N | -74S | 42Avg | 20nhz | filt: | 13Nf | -66Sf | 39Avgf |
| 2015:07:16_21h:07m:13s | 13N | -74S | 43Avg | 20nhz | filt: | 13Nf | -66Sf | 40Avgf |
| 2015:07:26_21h:07m:13s | 13N | -69S | 41Avg | 20nhz | filt: | 13Nf | -67Sf | 40Avgf |
| 2015:08:05_21h:07m:13s | 12N | -66S | 39Avg | 20nhz | filt: | 13Nf | -68Sf | 41Avgf |
| 2015:08:15_21h:07m:13s | 14N | -63S | 38Avg | 20nhz | filt: | 13Nf | -69Sf | 41Avgf |

I dati grezzi e mediati del campo polare del sole

<http://wso.stanford.edu/Polar.html#latest>



L'andamento degli ultimi 4 cicli solari del campo polare solare

<http://www.solen.info/solar/polarfields/polar.html>

Enzo

Attività Solare